



استفاده از روش ایزوژئومتریک در مدل‌سازی شکست سد با دیدگاه لاگرانژی

رامین امینی¹، رضا مقصودی^{2*}، ناصر ظریف مقدم باصفت³

¹ استادیار دانشکده مهندسی عمران، دانشگاه شاهرود، شاهرود

² دانشجوی دکتری عمران، گرایش هیدرولیک، دانشگاه شاهرود، شاهرود

³ مدرس دانشکده فنی - حرفه‌ای شهید منتظری، مشهد

تاریخ دریافت: 1392/10/05؛ تاریخ بازنگری: 1393/07/16؛ تاریخ پذیرش: 1393/10/23

چکیده

بررسی شکست سد همواره مورد توجه بسیاری از محققین بوده است. که به صورت دیدگاه لاگرانژی و دیدگاه اویلری مدل شده است. در این مقاله برای مدل‌سازی جریان شکست سد با توجه به دیدگاه لاگرانژی، از روش ایزوژئومتریک استفاده شده است. معادلات حاکم بر جریان، معادلات بقای جرم و بقای ممنتوم می‌باشند که به شکل لاگرانژی با استفاده از روش تصحیح فشار حل شده‌اند. برای گسسته‌سازی مکانی از روش حداقل مربعات استفاده می‌شود. با استفاده از روش ایزوژئومتریک دستگاه معادلات دارای ابعاد بسیار کمتر نسبت به دیگر روش‌ها (روش اجزای محدود و روش بدون شبکه) می‌باشد. همچنین ماتریس سختی متقارن و دارای مقادیر مثبت می‌باشد. توابع نرَبز به عنوان توابع شکل استفاده می‌شود. پروفیل سطح آزاد، بردار سرعت و مقادیر فشار بدست آمده از روش ایزوژئومتریک در زمان‌های مختلف با روش بدون شبکه مقایسه می‌شود. نتایج نشان دهنده توانایی روش پیشنهادی برای حل مسائل سیال متحرک با حرکت شرایط مرزی می‌باشد.

کلمات کلیدی: شکست سد؛ دیدگاه لاگرانژی؛ روش ایزوژئومتریک؛ حداقل مربعات؛ توابع نرَبز.

Using isogeometric method for dam break modeling by Lagrangian approach

R. Amini¹, R. Maghsoodi^{2*}, N. Z. Moghaddam³

¹ Assis. Prof., Civil. Eng., Shahrood Univ., Shahrood, Iran

² Ph.D. Student, Civil. Eng., Shahrood Univ., Shahrood, Iran

³ Lecturer, Shahid Montazeri Technical and Vocational Univ., Mashhad, Iran

Abstract

Dam break time history have always been the interest of many researchers. This phenomena can be modeled by Eulerian or Lagrangian approach which each of them have their benefits and disadvantages. In this paper isogeometric method is utilized for modeling flow in dam break analysis by Lagrangian approach. Mass and momentum conservation laws are governing equations of flow which are solved by pressure correction in Lagrangian approach. Least square method is used for discretization of space. Matrix size is notably smaller in isogeometric method in comparison with other methods (finite elements and meshless methods). Also stiffness matrix is symmetric and positive definitive. NURBS (Non - Uniform Rational B-Spline) functions are used as shape functions. Free surface profile and pressure values of isogeometric method in different times are compared with a meshless method. The results indicate the ability of the proposed method in solution of moving fluid with moving boundaries.

Keywords: Dam break; Lagrangian approach; Isogeometric analysis; Least Squares method; NURBS (Non-uniform Rational B-Splines).

1- مقدمه

بررسی پدیده‌های طبیعی همواره مورد توجه محققان و پژوهشگران بوده است. این کار به دو صورت آزمایشگاهی و حل معادلات حاکم انجام می‌گیرد که هر کدام دارای معایب و مزایایی می‌باشند. از جمله معایب مدل آزمایشگاهی می‌توان به هزینه نسبتاً زیاد، خطا در اندازه‌گیری اطلاعات و طولانی بودن انجام آزمایش اشاره نمود. حل معادلات حاکم به دو صورت تحلیلی و مدل‌سازی عددی¹ انجام می‌گیرد. حل تحلیلی در مسائل پیچیده بسیار سخت و گاهی غیر ممکن می‌شود. با توجه به توسعه کامپیوترها رشد مدل‌های عددی قابل ملاحظه می‌باشد. این روش‌ها به نام دینامیک سیالات محاسباتی² معروف می‌باشند. از امتیازهای مهم مدل‌سازی عددی می‌توان به هزینه کم، زمان مناسب و اطلاعات کامل نسبت به کارهای آزمایشگاهی نام برد.

یکی از پدیده‌های که همواره مورد توجه محققین است، جریان شکست سد می‌باشد. بررسی این پدیده به صورت آزمایشگاهی، حل تحلیلی و مدل‌سازی عددی صورت گرفته است. از مدل‌های تحلیلی به دلیل پیچیده بودن آنها کمتر استفاده می‌شود. از جمله مشکلات روش‌های تحلیلی می‌توان حل معادلات غیر خطی بسیار مشکل، اعمال شرایط مرزی بسیار سخت و غیر هندسی بودن دامنه‌ی محاسباتی اشاره کرد [1].

برای تحلیل مسائل مکانیک سیالات سه دیدگاه وجود دارد [2]:

1- روش‌های اویلری³: در این روش‌ها، یک دستگاه مختصات ثابت در فضا در نظر گرفته می‌شود و جریان سیال تنها در این دستگاه ثابت بررسی می‌شود [3]. این روش‌ها بیشتر برای مسائلی که مرزهای میدان جریان تغییر چندانی ندارد مناسب می‌باشند. در این روش برای مدل کردن سطح آزاد می‌توان از روش حجم سیال⁴ استفاده نمود [4].

2- روش‌های لاگرانژی⁵: در این روش‌ها دستگاه مختصات همراه با سیال حرکت می‌کند بدین معنی که ذرات

سیال در طول زمان ردیابی می‌شوند و تغییرات خصوصیاتشان مورد بررسی قرار می‌گیرد و معمولاً برای مسائلی که در آنها مرزهای میدان جریان تغییرات زیادی دارند مناسب می‌باشند [5].

3- روش‌های ترکیبی لاگرانژی و اویلری: که ترکیبی از دو روش بالا می‌باشند.

با توجه به اینکه هر یک از روش‌های بالا دارای مزایا و معایبی می‌باشند، برای انتخاب یکی از روش‌های بالا باید به شرایط مسئله و خصوصیات آن توجه نمود و سپس روش مدنظر را انتخاب کرد.

روش‌های عددی را می‌توان به دو گروه با شبکه و بدون شبکه تقسیم‌بندی نمود. از جمله روش‌های با شبکه می‌توان روش تفاضل محدود⁶، روش حجم محدود⁷ و روش اجزای محدود⁸ را نام برد. در روش‌های بدون شبکه برای گسسته‌سازی معادلات نیازی به شبکه‌بندی نیست، مانند روش بدون شبکه⁹ [6].

از جمله معایب این روش‌ها می‌توان به ضعف در تولید دقیق مسایل دارای هندسه‌ی پیچیده و نیاز به تولید مکرر شبکه‌ی المان‌ها در مسائلی که در دیدگاه لاگرانژی حل می‌شوند اشاره نمود (به جز روش بدون شبکه). برای غلبه بر این مشکلات در سال‌های 1998 تا 2004 توسط کیگان¹⁰ و هولیگ¹¹ به جای توابع شکل اجزای محدود از توابع پایه اسپلاین استفاده کردند [7-9]. هیوز¹² در سال 2005 از توابع نرَبز به جای توابع اسپلاین استفاده کرد و روش تحلیل ایزوژئومتریک را ابداع کرد [10]. برتری توابع نرَبز¹³ نسبت به توابع پایه اسپلاین مدل کردن بهتر اشکال دارای انحنا می‌باشد [10]. به علت استفاده از شرایط یکسان در مدل‌سازی هندسه و تقریب تابع مجهول، نام این روش «تحلیل ایزوژئومتریک»¹⁴ انتخاب شد. به‌طور خلاصه می‌توان مزایای روش ایزوژئومتریک را به‌صورت زیر بیان نمود [11]:

⁶ Finite difference

⁷ Finite Volume

⁸ Finite element

⁹ Meshless

¹⁰ Kagan

¹¹ Hollig

¹² Hughes

¹³ Non-Uniform Rational B-Spline (NURBS)

¹⁴ Isogeometric Analysis

¹ Numerical Modeling

² Computational Fluid Dynamics (CFD)

³ Eulerian Methods

⁴ Volume of fluid

⁵ Lagrangian Methods

نابرابر باشند بردار گرهی غیریکنواخت نامیده می‌شود. یک بردار گرهی باز نامیده می‌شود که اولین و آخرین گره $p+1$ مرتبه تکرار شده باشد. بردار گرهی باز استاندارد به صورت زیر تعریف می‌شود [21]:

$$\Xi = \left\{ \underbrace{a, \dots, a}_{p+1}, \xi_{p+1}, \dots, \xi_{m-p-1}, \underbrace{b, \dots, b}_{p+1} \right\} \quad (2)$$

تابع پایه ب-اسپلاین نام از درجه p با $N_{i,p}$ نشان داده شده و به صورت زیر تعریف می‌شود [21]:

$$N_{i,0} = \begin{cases} 1 & \text{if } \xi_i \leq \xi < \xi_{i+1} \\ 0 & \text{otherwise} \end{cases} \\ N_{i,p} = \frac{\xi - \xi_i}{\xi_{i+1} - \xi_i} N_{i,p-1}(\xi) + \frac{\xi_{i+p+1} - \xi}{\xi_{i+p+1} - \xi_{i+1}} N_{i+1,p-1}(\xi) \quad (3)$$

بازه (ξ_i, ξ_{i+1}) آمین فاصله گرهی و یا المان گره نام نامیده می‌شود. بنابراین منحنی ب-اسپلاین به صورت زیر تعریف می‌شود:

$$C(\xi) = \sum_{i=0}^n N_{i,p}(\xi) P_i \quad a \leq \xi \leq b \quad (4)$$

که $\{P_i\}$ نقاط کنترل، و $\{N_{i,p}(\xi)\}$ آمین درجه تابع پایه ب-اسپلاین می‌باشد. برای مثال با استفاده از $\Xi = \{0, 1, 2, 3, 4, \dots\}$ به عنوان بردار گرهی توابع پایه ب-اسپلاین با درجات $p=0, 1, 2$ در شکل 1 نشان داده شده است [10].

سطح ب-اسپلاین نیز به صورت زیر تعریف می‌شود:

$$S(\xi, \eta) = \sum_{i=0}^n \sum_{j=0}^m N_{i,p}(\xi) N_{j,q}(\eta) P_{i,j} \quad (5)$$

با بردار گرهی

$$\Xi = \left\{ \underbrace{0, \dots, 0}_{p+1}, \xi_{p+1}, \dots, \xi_{r-p-1}, \underbrace{1, \dots, 1}_{p+1} \right\} \\ H = \left\{ \underbrace{0, \dots, 0}_{q+1}, \xi_{q+1}, \dots, \xi_{s-q-1}, \underbrace{1, \dots, 1}_{q+1} \right\} \quad (6)$$

که Ξ و H به ترتیب دارای $r+1$ و $s+1$ گره می‌باشند. در شکل 2 نحوه تولید توابع پایه سطح ب-اسپلاین نشان داده شده است [21].

- مدل‌سازی بسیار دقیق‌تر هندسه نسبت به روش اجزای محدود.

- با توجه به استفاده از شبکه کنترلی موجب کاهش وابستگی مدل‌سازی هندسه به ریز یا درشت بودن شبکه‌بندی.

- امکان استفاده از روش‌های معمول حل معادلات دیفرانسیل که در روش اجزای محدود استفاده می‌شود.

- کاهش قابل ملاحظه در اندازه دستگاه معادلات نسبت به روش‌های دیگر.

- نیاز نداشتن به تولید مکرر شبکه در مسائلی که در دیدگاه لاگرانژی حل می‌شوند.

روش ایزوژئومتریکی به سرعت در دینامیک سیالات توسعه یافته است [12-18]. آکرمن¹ و همکاران با روش ایزوژئومتریکی و در نظر گرفتن دیدگاه اوپلری به بررسی مسائل سطح آزاد مانند شکست سد پرداخته‌اند [18]. آنها برای مدل‌سازی سطح آزاد از روش سطح تراز² استفاده کرده‌اند. دکتر حسینی³ و همکاران با استفاده از آنالیز ایزوژئومتریکی معادله لاپلاس را حل کرده‌اند و علاوه بر خصوصیات فوق الذکر، به نتایجی از جمله توانایی قابل ملاحظه در حل معادلات نسبت به روش اجزای محدود و حساس نبودن روش ایزوژئومتریکی به نحوه چیدمان نقاط کنترلی برای مسائل دیدگاه لاگرانژی دست یافتند [19].

2- آشنایی با منحنی و سطوح نریز

در این قسمت به طور مختصر توابع ب-اسپلاین و توابع نریز توضیح داده می‌شود. برای مطالعه بیشتر به مراجع [20 و 21] رجوع شود. نریز از ب-اسپلاین ساخته می‌شود.

یک بردار گرهی را به صورت زیر تعریف می‌کنیم [21]:

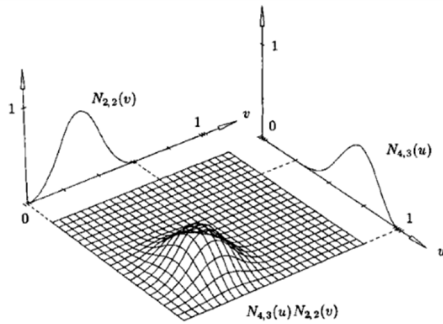
$$\Xi = \{\xi_1, \xi_2, \dots, \xi_{n+p+1}\}, \quad \xi_{i+1} \geq \xi_i, \quad (1) \\ i = 1, 2, \dots, n+p+1$$

که ξ_i آمین گره؛ i شاخص گره، p درجه چندجمله‌ای و n تعداد توابع پایه می‌باشد. اگر گره‌ها دارای فواصل مساوی باشند، بردار گرهی یکنواخت می‌گویند و اگر دارای فواصل

¹ I. Akkerman

² Level set

³ Hassani



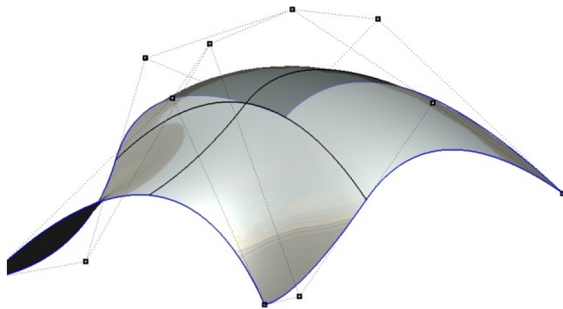
شکل 2- توابع پایه ب-اسپلاین در تولید سطوح

رابطه (8) به صورت زیر نوشته می‌شود:

$$S(\xi, \eta) = \sum_{i=0}^n \sum_{j=0}^m R_{i,p}(\xi, \eta) P_{i,j} \quad (10)$$

$$0 \leq \xi, \eta \leq 1$$

در شکل 3 مثالی از شبکه نقاط کنترلی و سطح تولید شده با نریز نشان داده شده است.



شکل 3- مثالی از شبکه‌ی کنترلی و سطح نریز

3- گسسته‌سازی معادلات حاکم و شرایط مرزی

معادلات حاکم بر جریان غیرویسکوز به صورت زیر است:

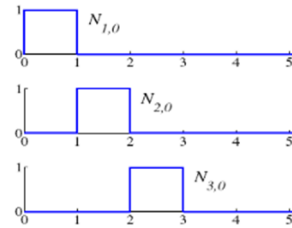
$$\frac{1}{\rho} \frac{D\rho}{Dt} + \nabla \cdot \vec{u} = 0 \quad (11)$$

$$\frac{D\vec{u}}{Dt} = -\frac{1}{\rho} \nabla P + \vec{g} \quad (12)$$

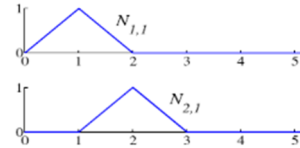
روابط (11) و (12) به ترتیب معادله بقای جرم و معادله بقای ممتموم در حالت تراکم‌پذیر می‌باشند. در این معادلات:

ρ : چگالی، \vec{u} : بردار سرعت، P : فشار، \vec{g} : شتاب ثقل، t : زمان، $\frac{D}{Dt}$ عملگر مشتق مادی¹ می‌باشند.

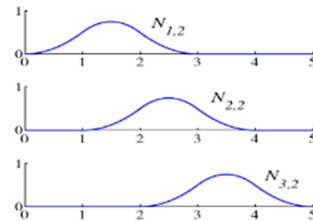
¹ Material Derivative operator



(الف)



(ب)



(ج)

شکل 1- توابع پایه الف) درجه صفر، ب) درجه یک،

ج) درجه دو

منحنی درجه p نریز به صورت زیر تعریف می‌شود:

$$C(\xi) = \frac{\sum_{i=0}^n N_{i,p}(\xi) w_i P_i}{\sum_{i=0}^n N_{i,p}(\xi) w_i} \quad a \leq \xi \leq b \quad (7)$$

که $\{P_i\}$ نقاط کنترلی، $\{w_i\}$ وزن‌ها، و $\{N_{i,p}(\xi)\}$ تابع ب-اسپلاین درجه p می‌باشد. به طور مشابه سطح نریز درجه p به صورت زیر تعریف می‌شود:

$$S(\xi, \eta) = \frac{\sum_{i=0}^n \sum_{j=0}^m N_{i,p}(\xi) N_{j,q}(\eta) w_{i,j} P_{i,j}}{\sum_{i=0}^n \sum_{j=0}^m N_{i,p}(\xi) N_{j,q}(\eta) w_{i,j}} \quad (8)$$

$$0 \leq \xi, \eta \leq 1$$

که $\{P_{i,j}\}$ شبکه کنترلی، $\{w_{i,j}\}$ وزن‌ها، و $\{N_{i,p}(\xi)\}$ و $\{N_{j,q}(\eta)\}$ توابع پایه ب-اسپلاین می‌باشند. با در نظر گرفتن:

$$R_{i,j}(\xi, \eta) = \frac{N_{i,p}(\xi) N_{j,q}(\eta) w_{i,j}}{\sum_{i=0}^n \sum_{j=0}^m N_{i,p}(\xi) N_{j,q}(\eta) w_{i,j}} \quad (9)$$

$$0 \leq \xi, \eta \leq 1$$

3-1- شرایط مرزی

برای فشار دو نوع شرایط مرزی متمایز در مسائل سطح آزاد وجود دارد. اولین شرط فشار اتمسفر روی سطح آزاد (شرط دریشله¹) و دومین شرط روی سطح دیوار می‌باشد (شرط نیومن²). این دو شرط به صورت زیر نوشته می‌شود:

$$\begin{aligned} P &= 0 & \text{مرز سطح آزاد} \\ \frac{\partial P}{\partial n} &= 0 & \text{مرز دیوار} \end{aligned} \quad (13)$$

که n بردار واحد عمود به سمت بیرون دیوار می‌باشد.

3-2- گسسته‌سازی زمانی معادلات حاکم

گسسته‌سازی زمانی را به صورت دو مرحله انجام می‌دهیم. در مرحله اول فقط عبارت گرانشی معادله (12) را در نظر می‌گیریم (مرحله پیش‌بینی) که برای پیش‌بینی سرعت و موقعیت ذره استفاده می‌شود. بنابراین داریم:

$$\Delta \mathbf{u}^* = \mathbf{g} \Delta t \quad (14)$$

$$\mathbf{u}^* = \mathbf{u}^t + \Delta \mathbf{u}^* \quad (15)$$

$$\mathbf{r}^* = \mathbf{r}^t + \mathbf{u}^* \Delta t \quad (16)$$

که \mathbf{u}^t سرعت ذره، \mathbf{r}^t موقعیت ذره در زمان t ، \mathbf{u}^* سرعت موقتی ذره، \mathbf{r}^* موقعیت ذره و $\Delta \mathbf{u}^*$ تغییر سرعت ذره در طی مرحله پیش‌بینی می‌باشد.

در مرحله دوم که مرحله تصحیح نامیده می‌شود، عبارت فشار برای محاسبه تغییرات اصلاحی در سرعت ذره بکار برده می‌شود:

$$\Delta \mathbf{u}^{**} = -\frac{1}{\rho} \nabla P^{t+1} \Delta t \quad (17)$$

$$\mathbf{u}^{t+1} = \mathbf{u}^* + \Delta \mathbf{u}^{**} \quad (18)$$

که $\Delta \mathbf{u}^{**}$ تغییر سرعت ذره در طی مرحله تصحیح، P^{t+1} فشار ذره در زمان $t+1$ ، \mathbf{u}^{t+1} سرعت ذره در زمان $t+1$ می‌باشد.

اما برای محاسبه $\Delta \mathbf{u}^{**}$ نیاز به تعیین توزیع فشار در زمان $t+1$ می‌باشد.

$$\nabla^2 P^{t+1} = \frac{\rho}{\Delta t} \nabla \cdot \mathbf{u}^* \quad (19)$$

حال برای محاسبه سرعت جدید ذرات می‌توان از روابط (17) و (18) استفاده کرد. در نهایت موقعیت جدید ذرات به صورت زیر محاسبه می‌شود:

$$\mathbf{r}^{t+1} = \mathbf{r}^t + \frac{\mathbf{u}^{t+1} + \mathbf{u}^t}{2} \Delta t \quad (20)$$

که \mathbf{r}^t موقعیت ذره در زمان t و \mathbf{r}^{t+1} موقعیت ذره در زمان $t+1$ می‌باشد.

3-3- مقدار گام زمانی

برای پایداری حل باید گام زمانی در هر مرحله کنترل شود. بدین منظور از تعریف شرایط کورانت استفاده می‌کنیم [21]:

$$\Delta t \leq 0.1 \frac{l_0}{\mathbf{u}_{max}} \quad (21)$$

که l_0 فاصله‌ی اولیه ذره و \mathbf{u}_{max} حداکثر سرعت ذره در محاسبات می‌باشد. ضریب 0.1 در جهت اطمینان است.

3-4- گسسته‌سازی مکانی با استفاده از روش

ایزوژئومتریکی

هر دو روش اجزای محدود و روش ایزوژئومتریکی دارای پایه نظری یکسانی می‌باشند. برای گسسته‌سازی در روش ایزوژئومتریکی می‌توان از روش‌های مرسوم در اجزای محدود استفاده نمود. معادله پواسون فشار با توجه به شرایط مرزی به صورت زیر دوباره نوشته می‌شود:

$$\begin{aligned} \nabla^2 P^{t+1} &= \frac{\rho}{\Delta t} \nabla \cdot \mathbf{u}^* \\ P &= 0 & \text{مرز سطح آزاد} \end{aligned} \quad (22)$$

$$\frac{\partial P}{\partial n} = 0 \quad \text{مرز دیوار}$$

رابطه (10) را به عنوان تابع شکل در نظر می‌گیریم. بنابراین مقدار تقریبی فشار P در نقطه (ξ_k, η_l) به صورت زیر بدست می‌آید:

$$P(\xi_k, \eta_l) = \sum_{i=0}^n \sum_{j=0}^m R_{i,j}(\xi_k, \eta_l) p_{i,j} \quad (23)$$

که $(n+1) \times (m+1)$ تعداد شبکه کنترلی و $p_{i,j}$ مقدار فشار می‌باشد. گرادیان و لاپلاس فشار با استفاده از رابطه (23) به صورت زیر بدست می‌آید:

$$\nabla P(\xi_k, \eta_l) = \sum_{i=0}^n \sum_{j=0}^m \nabla R_{i,j}(\xi_k, \eta_l) p_{i,j} \quad (24)$$

¹ Dirichlet condition

² Neuman condition

$$\mathbf{K} = \mathbf{P}^{t+1} \mathbf{F} \quad (31)$$

که \mathbf{P}^{t+1} بردار پارامتری فشار در زمان $t + 1$ ، و ماتریس \mathbf{K} و بردار \mathbf{F} به صورت زیر بدست می‌آیند:

$$\mathbf{K}_{lm} = \sum_{i=1}^{M_d} [\nabla^2(N_l)]_i^T [\nabla^2(N_m)]_i + \alpha \cdot \sum_{i=1}^{M_p} [(N_l)]_i^T [(N_m)]_i + \beta \cdot \sum_{i=1}^{M_t} \left[\left(\frac{\partial N_l}{\partial n} \right) \right]_i^T \left[\left(\frac{\partial N_m}{\partial n} \right) \right]_i \quad (32)$$

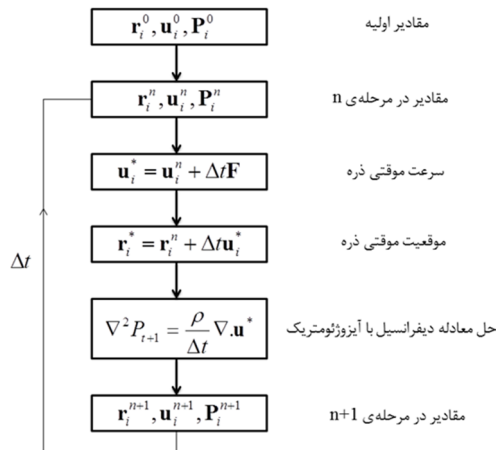
$l, m = 1, \dots, M$

$$\mathbf{F}_l = - \sum_{i=1}^{M_d} [\nabla^2(N_l)]_i^T \frac{\rho}{\Delta t} \nabla \cdot \mathbf{u}_i^* \quad (33)$$

$l = 1, \dots, M$

که M کل تعداد گره‌ها شامل M_d ، M_p و M_t می‌باشد. ماتریس \mathbf{K} در رابطه (32) متقارن و مثبت می‌باشد.

هر زمان که توزیع فشار مشخص شد، با استفاده از رابطه (17) مقدار تصحیح شده $\Delta \mathbf{u}^{**}$ تعیین می‌شود و با رابطه (18) مقدار \mathbf{u}^{t+1} بدست می‌آید. پس از آن می‌توان جابجایی ذرات را محاسبه کرد. روند انجام برنامه در شکل 4 نشان داده شده است.



شکل 4- الگوریتم کوپل کردن سرعت-فشار

$$\nabla^2 P(\xi_k, \eta_l) = \sum_{i=0}^n \sum_{j=0}^m \nabla^2 R_{i,j}(\xi_k, \eta_l) p_{i,j} \quad (25)$$

با قرار دادن رابطه (23) در رابطه (22) باقی‌مانده معادله دیفرانسیل R^d ، و باقی‌مانده شرط مرزی درিশله R^p و R^t باقی‌مانده شرط مرزی نیومن به صورت زیر بدست می‌آید:

$$R_{k,l}^{(d)} = \nabla^2 P_{k,l}^{t+1} - \frac{\rho}{\Delta t} \nabla \cdot \mathbf{u}^* = \sum_{i=0}^n \sum_{j=0}^m \nabla^2 R_{i,j}(\xi_k, \eta_l) p_{i,j}^{t+1} - \frac{\rho}{\Delta t} \nabla \cdot \mathbf{u}^* \quad (26)$$

$$R_{k,l}^{(p)} = P_{k,l}^{t+1} = \sum_{i=0}^n \sum_{j=0}^m R_{i,j}(\xi_k, \eta_l) p_{i,j}^{t+1} \quad (27)$$

$$R_{k,l}^{(t)} = \frac{\partial (P_{k,l}^{t+1})}{\partial n} = \sum_{i=0}^n \sum_{j=0}^m \frac{R_{i,j}(\xi_k, \eta_l) p_{i,j}^{t+1}}{\partial n} \quad (28)$$

تابع حداقل مربعات در تمام نقاط کنترل را می‌توان به صورت زیر نوشت:

$$J = \frac{1}{2} \left(\sum_{k=1}^{M_d} [R_{k,l}^{(d)}]^2 + \alpha \cdot \sum_{k=1}^{M_p} [R_{k,l}^{(p)}]^2 + \beta \cdot \sum_{k=1}^{M_t} [R_{k,l}^{(t)}]^2 \right) \quad (29)$$

که M_d ، M_p و M_t به ترتیب تعداد نقاط کنترل در قلمرو حل، روی مرز درিশله و روی مرز نیومن می‌باشد. α و β ضرایب پنالتی¹ درিশله و نیومن با مقادیر به اندازه کافی بزرگ که شرایط مرزی را ارضاء کنند، می‌باشند.

با حداقل‌سازی رابطه (29) نسبت به پارامتر گرهی $P_{i,j}$ داریم:

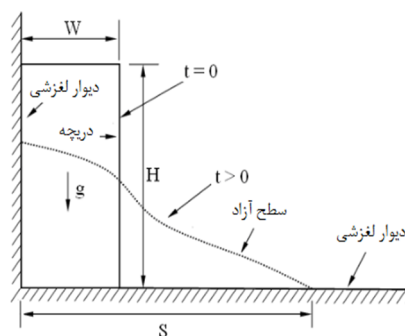
$$\frac{\partial J}{\partial P_{i,j}} = \sum_{k=1}^{M_d} \frac{\partial R_{k,l}^{(d)}}{\partial P_{i,j}^{t+1}} [R_{k,l}^{(d)}] + \alpha \cdot \sum_{k=1}^{M_p} \frac{\partial R_{k,l}^{(p)}}{\partial P_{i,j}^{t+1}} [R_{k,l}^{(p)}] + \beta \cdot \sum_{k=1}^{M_t} \frac{\partial R_{k,l}^{(t)}}{\partial P_{i,j}^{t+1}} [R_{k,l}^{(t)}] \quad (30)$$

با قرار دادن روابط (26) تا (28) در رابطه (30) دستگاه معادلات زیر بدست می‌آید:

¹ Penalty coefficients

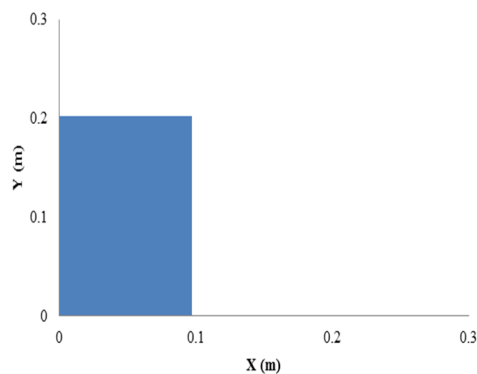
4- مدل‌سازی شکست سد

محققین بسیار زیادی به صورت آزمایشگاهی و به صورت عددی به بررسی شکست سد پرداخته‌اند [23-30]. مدل شکست سد در شکل 5 نشان داده شده است [31].



شکل 5- طرح مسئله‌ی شکست سد (مرجع [31])

ارتفاع اولیه ستون آب را 0.2 متر و عرض آن را 0.1 متر در نظر می‌گیریم (شکل 6). در این بخش به بررسی نتایج مدل‌سازی شکست سد با استفاده از روش ایزوژئومتریکی و مقایسه آن با مرجع [1] می‌پردازیم.



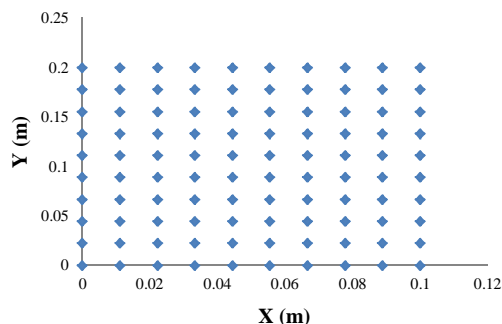
شکل 6- هندسه‌ی شکست سد

برای مدل‌سازی شکست سد با استفاده از روش ایزوژئومتریکی درجه توابع نرَبز را 2 و تعداد نقاط کنترلی را برابر 100 در نظر می‌گیریم (شکل 7). وزن‌ها در تمامی نقاط کنترل برابر 1 می‌باشد.

بردارهای گرهی به صورت یکنواخت، باز و استاندارد می‌باشد. و به صورت زیر است:

$$[0 \ 0 \ 0 \ 0.125 \ 0.25 \ 0.375 \ 0.5 \ 0.625 \ 0.75 \ 1 \ 1 \ 1]$$

در شکل 8 جواب‌های بدست آمده از روش ایزوژئومتریکی در زمان‌های 0.1 و 0.15 ثانیه با جواب‌های روش بدون شبکه حداقل مربعات¹ مرجع [1] مقایسه شده است.



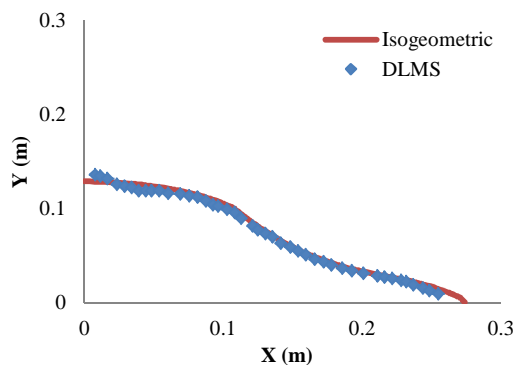
شکل 7- نقاط کنترلی برای مدل‌سازی روش ایزوژئومتریکی

همان‌طور که در شکل 8 مشاهده می‌شود با در نظر گرفتن 100 نقطه کنترلی جواب‌ها بدست آمده از روش ایزوژئومتریکی و روش بدون شبکه نزدیک به هم می‌باشد. برای مدل‌سازی در روش بدون شبکه 450 گره در نظر گرفته شده است (مرجع [1]). بنابراین دستگاه معادلات روش ایزوژئومتریکی دارای اندازه بسیار کمتر نسبت به روش بدون شبکه می‌باشد.

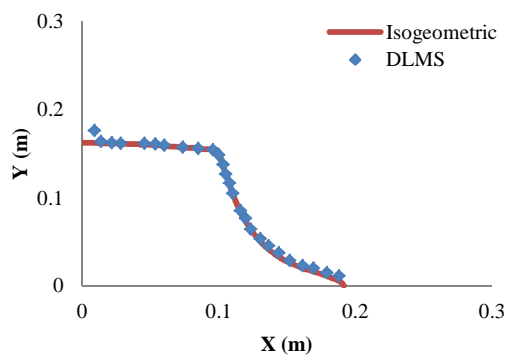
در شکل 9 و شکل 10 بردار سرعت و پروفیل فشار بدست آمده از دو روش ایزوژئومتریکی و روش بدون شبکه در زمان‌های 0.1 و 0.15 ثانیه با هم مقایسه شده است.

خاطر نشان می‌سازد که در روش اجزای محدود با افزایش تعداد گره‌های المان، درجه توابع شکل افزایش می‌یابد ولی در روش ایزوژئومتریکی، می‌توان بدون افزودن درجه توابع پایه اسپلاین، اقدام به افزایش تعداد نقاط کنترلی نمود. در نتیجه در روش اجزای محدود با افزایش درجه توابع شکل بایستی تعداد نقاط گوسی بیشتری را برای افزایش دقت انتگرال‌گیری عددی استفاده نمود در حالی که این کار در روش ایزوژئومتریکی حساسیت بسیار کمتری را خواهد داشت. در نتیجه افزایش تعداد نقاط گوسی در روش ایزوژئومتریکی فقط سبب افزایش حجم محاسبات شده و تاثیری در جواب نهایی نخواهد داشت.

¹ Discrete Least Squares Meshless Method (DLSM)

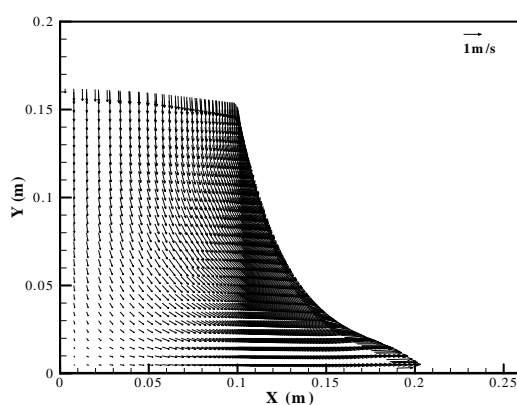


ب) 0/15 ثانیه

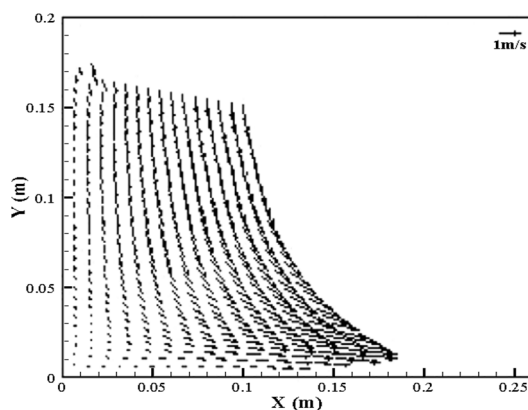


الف) 0/1 ثانیه

شکل 8- مقایسه مدل‌سازی سطح آزاد آب با استفاده از روش ایزوژئومتریک و روش بدون شبکه (مرجع [1]) در زمان‌های الف) 0/1 ثانیه و ب) 0/15 ثانیه

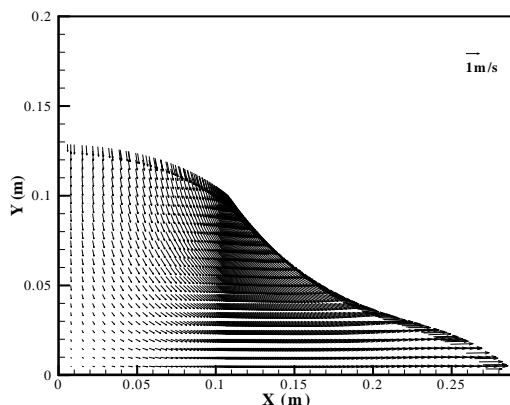


روش ایزوژئومتریک

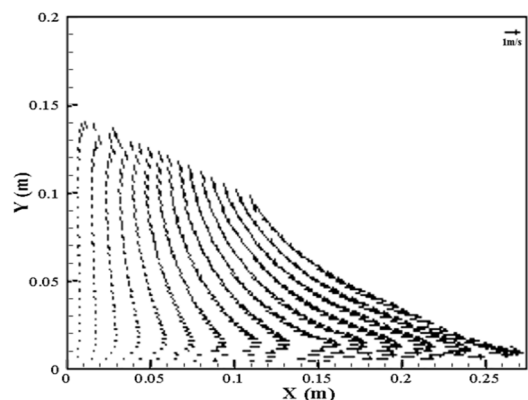


روش بدون شبکه (مرجع [1])

الف) 0/1 ثانیه



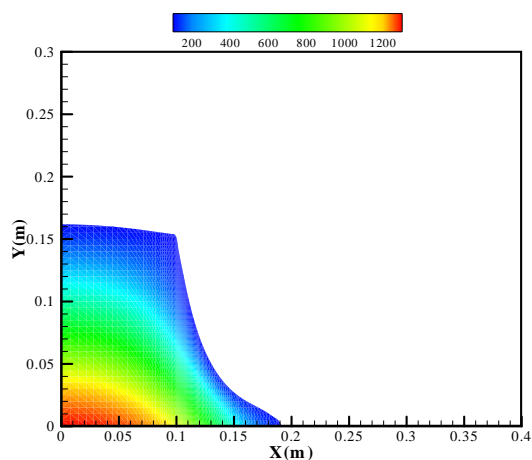
روش ایزوژئومتریک



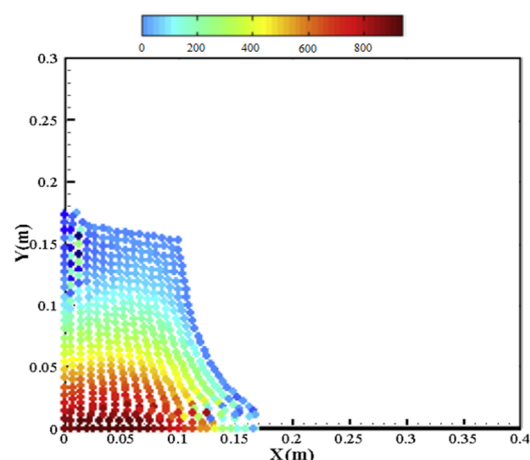
روش بدون شبکه (مرجع [1])

ب) 0/15 ثانیه

شکل 9- مقایسه مدل‌سازی بردار سرعت با استفاده از روش ایزوژئومتریک و روش بدون شبکه (مرجع [1]) در زمان‌های الف) 0/1 ثانیه و ب) 0/15 ثانیه

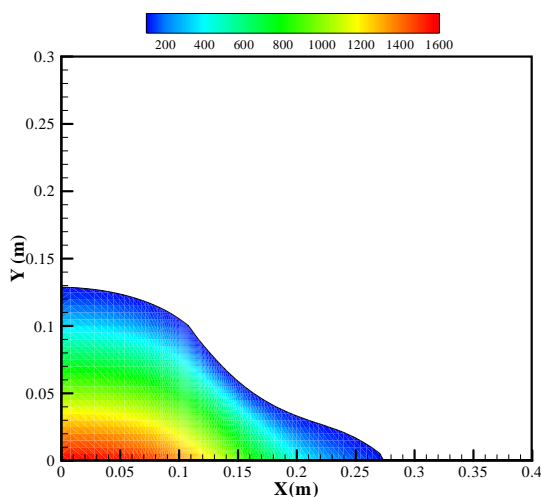


روش ایزوژئومتریکی

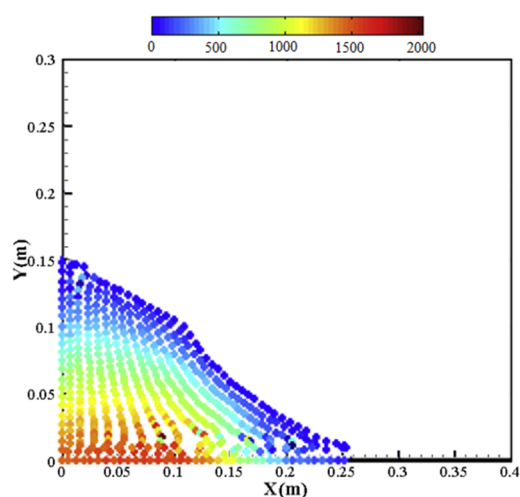


روش بدون شبکه (مرجع [1])

الف) 0/1 ثانیه



روش ایزوژئومتریکی



روش بدون شبکه (مرجع [1])

ب) 0/15 ثانیه

شکل 10- مقایسه‌ی مدل‌سازی پروفیل فشار با استفاده از روش ایزوژئومتریکی و روش بدون شبکه (مرجع [1]) در زمان‌های الف) 0/1 ثانیه و ب) 0/15 ثانیه (برحسب پاسکال)

است. نتایج بدست آمده حاکی از قابلیت بالای مدل‌سازی شکست سد با روش ایزوژئومتریکی با دیدگاه لاگرانژی می‌باشد. از خصوصیات دیگر روش ایزوژئومتریکی کاهش قابل ملاحظه در دستگاه معادلات نسبت به روش‌های مشابه (مانند روش اجزای محدود و روش بدون شبکه) می‌باشد، که این نتیجه از مقایسه نتایج شکست سد با روی بدون شبکه بدست می‌آید.

5- نتیجه‌گیری

یکی از برتری‌های روش ایزوژئومتریکی حل مسائل با دیدگاه لاگرانژی می‌باشد که نیاز به شبکه‌بندی مکرر در زمان‌های مختلف نمی‌باشد. در این مقاله از این خصوصیت مهم روش ایزوژئومتریکی برای مدل‌سازی شکست سد استفاده شده است. معادلات ناویر-استوکس با استفاده از روش پیش‌بینی فشار در زمان گسسته‌سازی می‌شوند. گسسته‌سازی مکانی معادلات حاکم با استفاده از روش حداقل مربعات انجام شده

- [4] Hirt CW, Nichols BD (1981) Volume of fluid methods for the dynamics of free boundaries. *Journal of Computational Physics* 39: 201–225.
- [5] Donea J (1982) An arbitrary Lagrangian-Eulerian finite element method for transient fluid-structure interactions. *J Comput Methods Appl Mech Eng* 33: 689–723.
- [6] Belytschko T, Krongauz Y, Organ D, Fleming M, Krysl P (1996) Meshless methods: An overview and recent developments. *J Comput Methods Appl Mech Eng* 139: 3–47.
- [7] Kagan P, Fischer A, Bar-Yoseph PZ (1998) New B-spline finite element approach for geometrical design and mechanical analysis. *Int J Numer Methods Eng* 41: 435–458.
- [8] Hollig K, Reif U, Wipper J (2001) Weighted extended B-spline approximation of dirichlet problems. *SIAM J Numer Anal* 39(2): 442–462.
- [9] Kagan P, Fischer A, Bar-Yoseph PZ (2003) Mechanically based models: adaptive refinement for B-spline finite element. *Int J Numer Methods Eng* 57(8): 1145–1175.
- [10] Hughes TGR, Cottrell JA, Bazilevs Y (2005) Isogeometric analysis: CAD, finite elements, NURBS, exact geometry and mesh refinement. *Comput Methods Appl Mech Eng* 194: 4135–4195.
- [11] Hassani B, Ganjali A, Tavakkoli M (2011) An isogeometrical approach to error estimation and stress recovery. *European Journal of Mechanics A/Solids* 31(1): 101–109.
- [12] Bazilevs Y, Calo VM, Cottrell JA, Hughes TJR, Reali A, Scovazzi G (2007) Variational multiscale residual based turbulence modeling for large eddy simulation of incompressible flows. *Comput Methods Appl Mech Eng* 197(1–4): 173–201.
- [13] Bazilevs Y, Calo VM, Hughes TJR, Zhang Y (2008) Isogeometric fluid-structure interaction: theory, algorithms, and computations. *Comput Mech* 43(1): 3–37.
- [14] Bazilevs Y, Calo VM, Zhang Y, Hughes TJR (2006) Isogeometric fluid-structure interaction analysis with applications to arterial blood flow. *Comput Mech* 38: 310–322.
- [15] Bazilevs Y, Hughes TJR (2008) NURBS-based isogeometric analysis for the computation of flows about rotating components. *Comput Mech* 43(1): 143–150.
- [16] Buffa A, deFalco C, Sangalli G (2010) Isogeometric analysis: Stable elements for the 2D Stokes equation. *Int J Numer Meth Fluids* 65 (11–12): 1407–1422.
- [17] Gmez H, Calo V, Bazilevs Y, Hughes TJR (2008) Isogeometric analysis of the Cahn-Hilliard phase-

فهرست علائم

بردار گرهی در فضای پارامتری ξ	Ξ
بردار گرهی در فضای پارامتری η	H
تأمین تابع پایه ب-اسپلاین از درجه صفر	$N_{i,0}(\xi)$
تأمین تابع پایه ب-اسپلاین از درجه p	$N_{i,p}(\xi)$
منحنی تعریف شده توسط توابع پایه ب-اسپلاین و یا نربز	$C(\xi)$
سطح تعریف شده توسط توابع پایه ب-اسپلاین و یا نربز	$S(\xi, \eta)$
توابع پایه نسبی قطعه‌ای نربز	$R_{i,j}(\xi, \eta)$
چگالی سیال، kg/m^3	ρ
بردار سرعت، m/s	$\bar{\mathbf{u}}$
فشار، N/m^2	\mathbf{P}
شتاب ثقل، m/s^2	$\bar{\mathbf{g}}$
زمان، s	t
عملگر مشتق مادی	$\frac{D}{Dt}$
سرعت ذره در زمان t ، m/s	\mathbf{u}^t
موقعیت ذره در زمان t ، m	\mathbf{r}^t
تغییر سرعت ذره در طی مرحله پیش‌بینی، m/s	$\Delta \mathbf{u}^*$
تغییر سرعت ذره در طی مرحله تصحیح، m/s	$\Delta \mathbf{u}^{**}$
فشار ذره در زمان $t+I$ ، N/m^2	\mathbf{p}^{t+1}
سرعت ذره در زمان $t+I$ ، m/s	\mathbf{u}^{t+1}
موقعیت ذره در زمان t ، m	\mathbf{r}^t
موقعیت ذره در زمان $t+I$ ، m	\mathbf{r}^{t+1}
فاصله‌ی اولیه ذره، m	l_0
حداکثر سرعت ذره، m/s	\mathbf{u}_{max}

مراجع

- [1] Shobeyri G, Afshar MH (2010) Simulating free surface problems using Discrete Least Squares Meshless method. *Computers & Fluids* 39: 461–470.
- [2] Cruchaga M, Celentano D, Tezduyar T (2001) A moving Lagrangian interface technique for flow computations over fixed meshes. *J Comput Methods Appl Mech Eng* 191: 525–543.
- [3] Radovitzky R, Oritz M (1998) Lagrangian finite element analysis of newtonian fluid flows. *Int J Numer Meth Eng* 43: 607–619.

- sharp interface capturing on 3D tetrahedral grids. *Journal of Computational Physics* 229(7): 2573–2604.
- [26] Lins EF, Elias RN, Rochinha FR, Coutinho ALGA (2010) Residual-based variational multiscale simulation of free surface flows. *Comput Mech* 46(4): 545–557.
- [27] Benkhaldoun F, Sari S, Seaid M (2012) A flux-limiter method for dam-break flows over erodible sediment beds. *Applied Mathematical Modelling* 36(10): 4847–4861.
- [28] Zoppou C, Roberts S (2000) Numerical solution of the two-dimensional unsteady dam break. *Applied Mathematical Modelling* 24(7): 457–475.
- [29] Chang TJ, Kao HM, Chang KH, Hsu MH (2011) Numerical simulation of shallow-water dam break flows in open channels using smoothed particle hydrodynamics. *Journal of Hydrology* 408(1-2): 78–90.
- [30] Maghsoodi R, Roozgar MS, Chau KW, Sarkardeh H (2012) 3D Simulation of dam break flows. *Dam Engineering* 23(2): 53–70.
- [31] Nithiarasu P (2005) An arbitrary Lagrangian Eulerian (ALE) formulation for free surface flows using the characteristic-based split (CBS) scheme. *International Journal for Numerical Method in Fluids* 48: 1415–1428.
- field model. *Comput Methods Appl Mech Eng* 197(49–50): 4333–4352.
- [18] Akkerman I, Bazilevs Y, Kees CE, Farthing MW (2011) Isogeometric analysis of free-surface flow. *Journal of Computational Physics* 230: 4137–4152.
- [19] Hassani B, Moghaddam NZ, Tavakkoli SM (2009) Isogeometrical solution of laplace equation. *Asian Journal of Civil Engineering* 10: 579–592.
- [20] Rogers DF (2001) An introduction to NURBS. Morgan Kaufmann Publishers.
- [21] Piegl L, Tiller W (1997) The NURBS book. 2nd ed, Springer-Verlag, New York.
- [22] Shao SD, Lo EYM (2003) Incompressible SPH method for simulating Newtonian and non-Newtonian flows with a free surface. *Adv Water Resour* 26(7): 787–800.
- [23] Mohapatra PK, Eswaran V, Murty Bhallamudi S (1999) Two-dimensional analysis of dam-break flow in vertical plane. *Journal of Hydraulic Engineering* 125(2): 183–192.
- [24] Valiani A, Caleffi V, Zanni A (2002) Case study malpasset dam-break simulation using a two-dimensional finite volume method. *Journal of Hydraulic Engineering* 128(5): 460–472.
- [25] Lv X, Zou Q, Zhao Y, Reeve D (2010) A novel coupled level set and volume of fluid method for